

大阪大学工学部 正員 奈良 敬
大阪大学工学部 正員 小松 定夫

[1] まえがき 近年、溶接によつて生ずる残留応力および初期たわみといつて初期不整が鋼構造物の耐荷力に及ぼす影響について明らかにしようとする研究が活発に行はれることは多い。特に圧縮部材においては初期不整の存在で耐荷力を致命的欠陥を与えることが報告されている。逆に耐荷力の評価を行はうためにには初期不整について考慮する事が不可欠であり、美橋における初期不整についてその実態を明らかにすることは重要な課題である。残留応力については以前に著者らはある程度まで明らかにして。¹⁾一方、我が国における美橋を対象として初期たわみに関する統一的研究は未だに行はれていない。本研究は、このようないき方勢の下で、日本鋼構造協会関西地区委員会の昭和52・53年度調査研究課題としてIDM委員会において着手された研究の一環として行はれたものであり、図-1に示すように、初期たわみの性状を統計的に明らかにすると共に、それに基づいて基準耐荷力の確率論的評価法を確立し、初期たわみの測定検査法について検討することを目的とする。今回は圧縮補剛板の縦横のリブで囲まれた板パネルの初期たわみ性状について報告する。

[2] 初期たわみの測定

圧縮板を圧縮力方向に8分割、その直角方向に4分割し、その格子点で初期たわみを測定した。測定の対象として圧縮補剛板の諸元の範囲を表-1に示す。測定精度については、道路表示方書に規定される許容値 $\pm 1/50$ (または板パネル幅)の $1/10$ 以下とよりよく測定器具を選択した。

[3] 実測された初期たわみの統計解析 (a) 初期たわみモードと波形 美測された初期たわみを図-2に示すように6つの初期たわみモードに分解し、各初期たわみモードの絶対最大値 $|\delta_{k,i}|$ ($k=1 \sim 6$) とその生ずる位置および各初期たわみ波形の絶対値 $|f_{k,i}|$, $|g_{k,i}|$ ($k=1 \sim 4$), $|\delta_{k,i}|$ ($k=1 \sim 4$) を求めた。ただし、 $\delta_{k,i} = \delta_{k,i} \cdot \bar{\delta}_{k,i}$ ($k=1, 4$) — (7)

(b) IDWRの初期たわみ IDWRの規定に従い圧縮力方向にゲージ長 G をと、

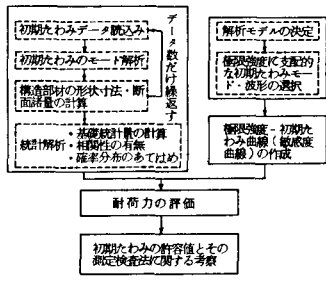


図-1 研究計画の流れ図

表-1 測定対象とした圧縮補剛板の諸元

無次元量	範囲
繩模比 a/b	3.32 ~ 9.25
幅厚比 b/t	14.2 ~ 50.0
幅厚比パラメータ R	0.309 ~ 1.027
縦リブ剛比 Y_p	37.1 ~ 476.9
縦リブ断面積比 δ_p	0.123 ~ 0.453
縦リブ本数 n_p	3 ~ 9
横リブ剛比 Y_q	0 ~ 3640
横リブ断面積比 δ_q	0.000 ~ 0.548
横リブ本数 n_q	0 ~ 3

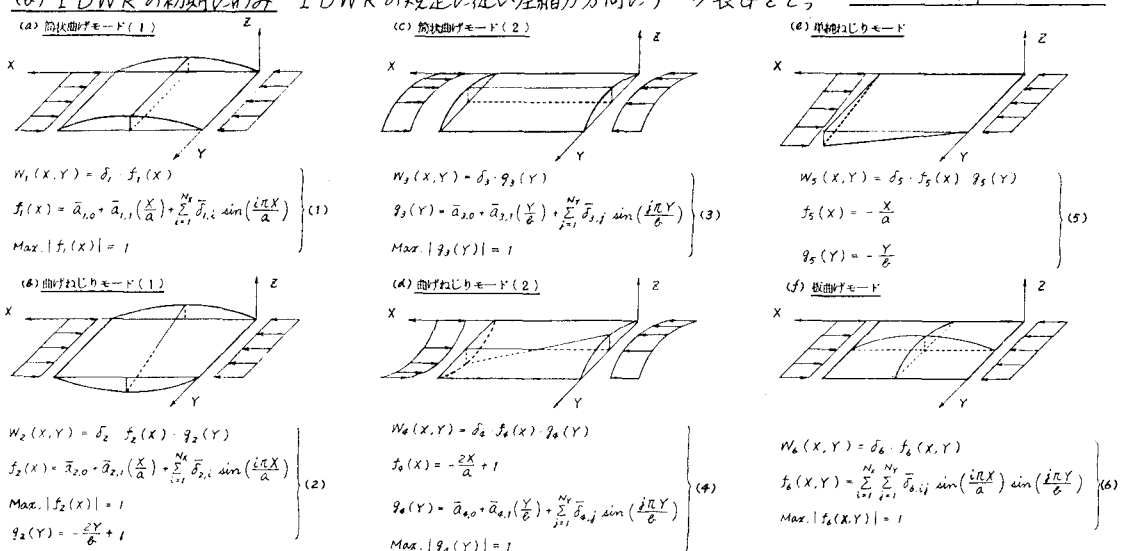


図-2 初期たわみモード

に場合の初期ひずみ Δx を計算して。はる初期ひずみについてはすべて $b/150$ で無次元化している。(c) 統計解析 表-1に示して圧縮補剛板の諸元と(a),(b)で求めた初期ひずみとの間には明確な相関性は認められない。これは、各メーカーが独自の方法を用いてひずみ取りを行っていふものと思われる。従って初期ひずみは部材の諸元に対しても独立であるとして取り扱うこととする。各初期ひずみモードの絶対最大値の平均値と標準偏差を表-2に示す。筒状曲げモード(1)および板曲げモードについてその頻度分布を図-3に示す。また図-4に両初期ひずみモードの絶対最大値が生ずる位置の頻度分布を示す。

筒状曲げモードを除くすべての初期ひずみモードは筒状曲げモード(1)と同様な分布形狀である。ゲージ長 $G = 0.5b$, $G = b$ のときの Δx の頻度分布を図-5に示す。図-6には Δx とゲージ長 G との関係を示す。

(d) 初期ひずみの確率モデル χ^2 分布による適合度の検定を行って結果、最も一般性のあるワイブル分布を初期ひずみの確率モデルとする。

$$X < Y \text{ のとき } f(x) = 0, X \geq Y \text{ のとき } f(x) = \frac{m}{\alpha} (x-y)^{m-1} \exp\left\{-\frac{(x-y)^m}{\alpha}\right\} \quad (8)$$

図-3,5に示す点線は平均値と標準偏差を使って求めたワイブル分布を表わす。表-2にはパラメータ α, m を示す。ただし、 $y=0$ とする。

4 等価初期ひずみ 初期ひずみモードと極

限強度の関係を弾塑性有限変位解析法²⁾により調べて結果、筒状曲げモード(1)と板曲げモードのみが極限強度に影響を与えることがわかったので、次式に示す等価初期ひずみ δ_{eq} を導入する。

$$\delta_{eq} = K_1 \delta_1 + \delta_b \quad (9) \quad \text{ただし},$$

$$K_1 = B_0 + B_1 e^{-\delta_1} + B_2 \delta_1 + B_3 \delta_1^2 + B_4 \delta_1^3 \quad (10)$$

$R=0.7$ のときの等価初期ひずみの頻度分布を図-7に示す。等価初期ひずみは板曲げモードを基準としているので、極限強度と板曲げ初期ひずみモードの関係より耐荷力の頻度分布が求まる。

5 結論 (i) 圧縮板の初期ひずみ性状について初期ひずみモードを用いて明らかにし、(ii)初期ひずみの確率分布としてワイブル分布がよく適合する。(iii)筒状曲げモード(1)と板曲げモード

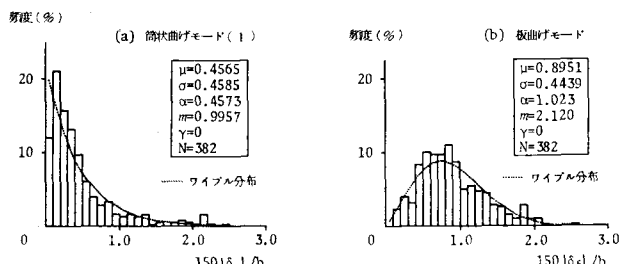


図-3 初期ひずみモードの絶対最大値の頻度分布

表-2 初期ひずみの大きさと確率分布

初期ひずみ	平均値 μ	標準偏差 σ	α	m
150 δ₁ /b	0.4565	0.4585	0.4573	0.9957
150 δ₂ /b	0.2156	0.1939	0.1893	1.114
150 δ₃ /b	0.1959	0.1609	0.1474	1.224
150 δ₄ /b	0.1389	0.1280	0.1212	1.087
150 δ₅ /b	0.3107	0.4202	0.3651	0.7503
150 δ₆ /b	0.8951	0.4439	1.023	2.120

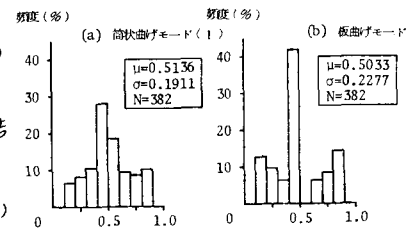


図-4 初期ひずみモードの絶対最大値が生ずる位置の頻度分布

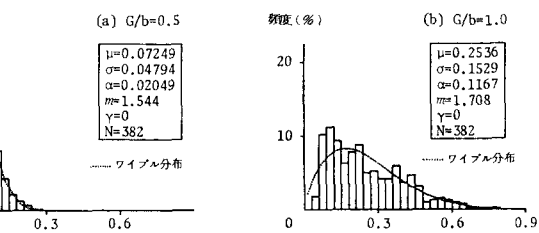


図-5 初期ひずみ Δx の頻度分布

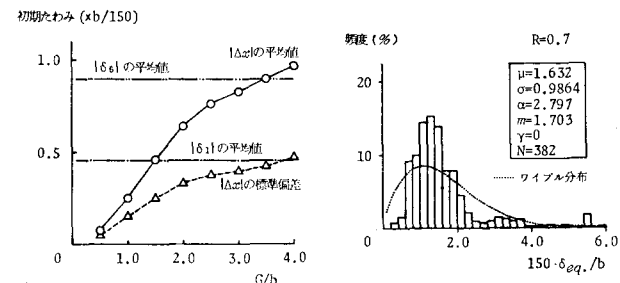


図-6 初期ひずみ Δx とゲージ長の関係

のみが圧縮板の極限強度に影響を与える。(iv)等価初期ひずみにより耐荷力を評価する方法について述べる。

謝辞 本研究は昭和53年度文部省科学研究費補助金による。初期ひずみの測定については日本鋼構造協会関西地区委員会(小西一郎委員長)IDM委員会所属のメーカーの方々にご頼みいた。膨大なデータ整理には本学4年生の八重島吉典君の協力を得た。ここに謝意を表します。参考文献 1) 小松牛尾・北田:補剛板の溶接接合部における初期ひずみに関する実験的研究、土木学会論文報告集、第265号、1977年9月。2) 小松・北田・高崎:残留ひずみおよび初期ひずみと有する圧縮板の弾塑性解析、土木学会論文報告集、第244号、1975年12月。